不飽和砂質土の非排気-非排水三軸試験のシミュレーション

(現西日本旅客鉄道) 京都大学大学院 正会員 ○松本 真明

京都大学大学院フェロー会員岡 二三生京都大学大学院正会員木元 小百合京都大学大学院正会員肥後 陽介京都大学大学院学生会員狩野 修志

1. はじめに

本研究では、不飽和地盤の力学挙動のモデル化を目的とし、Feng¹⁾ により提案されている不飽和弾粘塑性構成式を用いた空気 - 水 - 土連成有限要素法により、非排気 - 非排水条件下における砂質土の三軸圧縮試験結果 ²⁾の再現を試みた.

2. 繰返し弾粘塑性構成式の定式化

応力変数として骨格応力テンソル σ'_{ii} を用いた.

$$\sigma'_{ij} = \sigma_{ij} - P^F \delta_{ij} = \sigma_{ij} - \left\{ s u_w + (1 - s) u_a \right\} \delta_{ij} \tag{1}$$

ここで、 σ_{ij} は全応力テンソル、 P^F は平均間隙圧で間隙空気圧 u_a ,間隙水圧 u_w ,飽和度sによって定義される.

2.1 過圧密境界面

$$f_b = \overline{\eta}_{(0)}^* + M_m^* \ln \frac{\sigma'_m}{\sigma'_{mb}} = 0$$
 (2)

ここで、 $\bar{\eta}_{(0)}^*$ は相対応力比、 σ'_{mb} は硬化パラメータ、 M_m^* はダイレイタンシー係数であり、次式で表わされる.

$$\widetilde{M}^* = \begin{cases} \left(\frac{\sigma'_m^*}{\sigma'_{mb}}\right) M_m^* & : 過圧密領域\\ M^* & : 正規圧密領域 \end{cases}$$
(3)

2.2 サクションの効果

本研究ではサクションの効果を次式で考慮している.

$$\sigma'_{mb} = \sigma'_{ma}(z) \exp\left(\frac{1 + e_0}{\lambda - \kappa} \varepsilon_{kk}^{vp}\right) \left[1 + S_I \exp\left\{-S_d\left(\frac{P_i^C}{P^C} - 1\right)\right\}\right]$$
(4)

$$= \sigma'_{ma}(P^{C}, z) \exp\left(\frac{1 + e_{0}}{\lambda - \kappa} \varepsilon_{kk}^{vp}\right)$$
 (5)

$$\sigma'_{ma}(z) = \sigma'_{maf} + (\sigma'_{mai} - \sigma'_{maf}) \exp(-\beta \sqrt{z})$$
 (6)

ここで、 P_i^c は基準サクション、 P^c は現在のサクション、 S_i は基準サクション P_i^c が作用しているときの強度増加率で、 S_d は強度変化速度を調節するパラメータ、Z は粘塑性ひずみ速度の第2不変量の累積値である.

2.3 粘塑性流れ則

粘塑性ひずみ速度は、次の流れ則によって与える.

$$\dot{\varepsilon}_{ij}^{vp} = C_{ijkl} \left\langle \Phi(f_y) \right\rangle \frac{\partial f_p}{\partial \sigma'_{kl}} \tag{7}$$

3. 空気-水-土連成有限要素法

3.1 増分型つりあい式

$$\int_{V} \dot{S}_{ji,j} dV = 0 \tag{8}$$

 \dot{S}_{ii} は現在の配置における公称応力速度テンソルである.

3.2 液相および気相の連続式

液相:
$$sD_{ii} + \dot{s}n = -V_{ij}^W$$
 (9)

気相:
$$(1-s)D_{ii} - \dot{s}n + (1-s)n\frac{\dot{\rho}^G}{\rho^G} = -V_{i,i}^G$$
 (10)

ここで、nは間隙率、 D_{ii} はストレッチング、 V_i^W 、 V_i^G は液相、気相の見掛けの速度、 ρ^G は気体の密度である.

3.3 水分特性曲線

水分特性曲線については以下の van Genuchten 式を用いている.

$$s_e = (s_{\text{max}} - s_{\text{min}}) \left\{ 1 + \left(\alpha P^C \right)^{n'} \right\}^{-m} + s_{\text{min}}, \quad m = 1 - 1/n' \quad (11)$$

ここで、 α , n', m は水分特性に関する材料パラメータ、 s_s は有効飽和度を表す.

4. シミュレーション結果

シミュレーションに用いたパラメータを表1に示す. 地盤の弾粘塑性パラメータは排気・排水三軸試験の要素 シミュレーションによって決定した.

表 1. 解析に用いた材料パラメータ (非排気 - 非排水)

サクション s (kPa)	10
基準サクション P _i c	50
圧縮指数 λ	0.0804
膨潤指数 κ	0.009
初期間隙比 e ₀	0.655
初期せん断弾性係数 G ₀ (kPa)	8000
擬似過圧密比 σ' _{mai} /σ' _{m0}	1.2
変相応力比 M *	1.18
粘塑性パラメータ m'	40
粘塑性パラメータ C ₀₁ (1/s)	1.0×10^{-15}
粘塑性パラメータ C ₀₂ (1/s)	2.5 × 10 ⁻¹⁵
内部構造パラメータ σ' _{maf} (kPa)	84.88
内部構造パラメータ β	1
サクションパラメータ S _i	0.1
サクションパラメータ s _d	0.2
初期平均骨格応力 σ'm0(kPa)	106.1
van Genuchten パラメータ α (1/kPa)	2
van Genuchten パラメータ n	1.2
飽和透水係数 kw(m/s)	1.0 × 10 ⁻⁵
飽和透気係数 k ^G (m/s)	1.0 × 10 ⁻⁴
透水係数形状パラメータ a	3
透水係数形状パラメータ b	2.3
最大飽和度 s _{max}	0.75
最小飽和度 s _{min}	0

キーワード 不飽和土、FEM、サクション、構成式

連絡先 〒615-8540 京都市西京区京都大学 4C クラスターC1 棟 TEL 075-383-3193

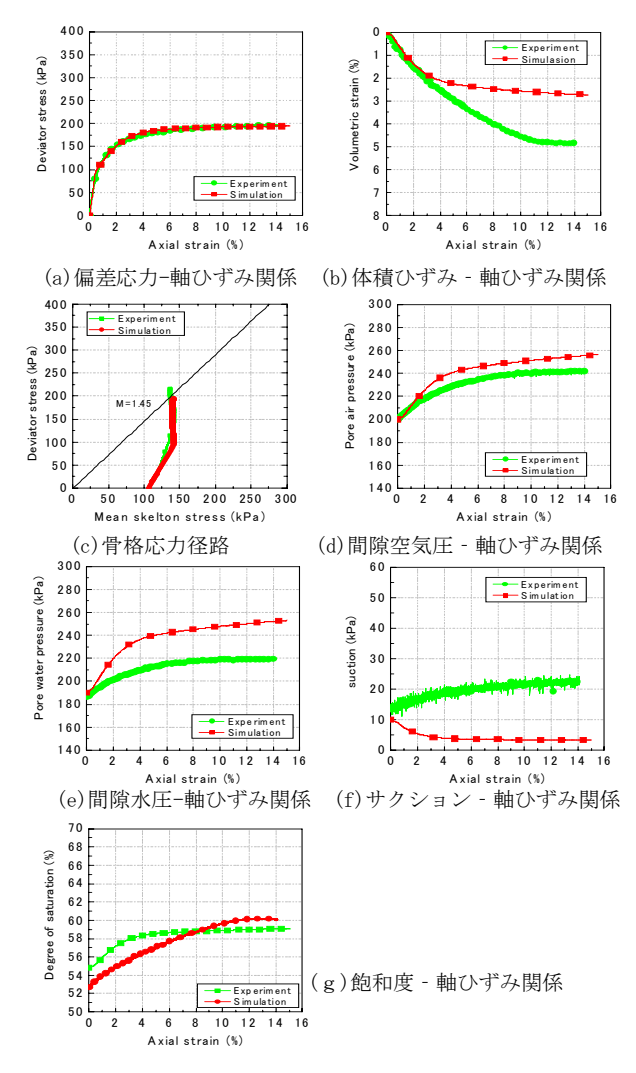


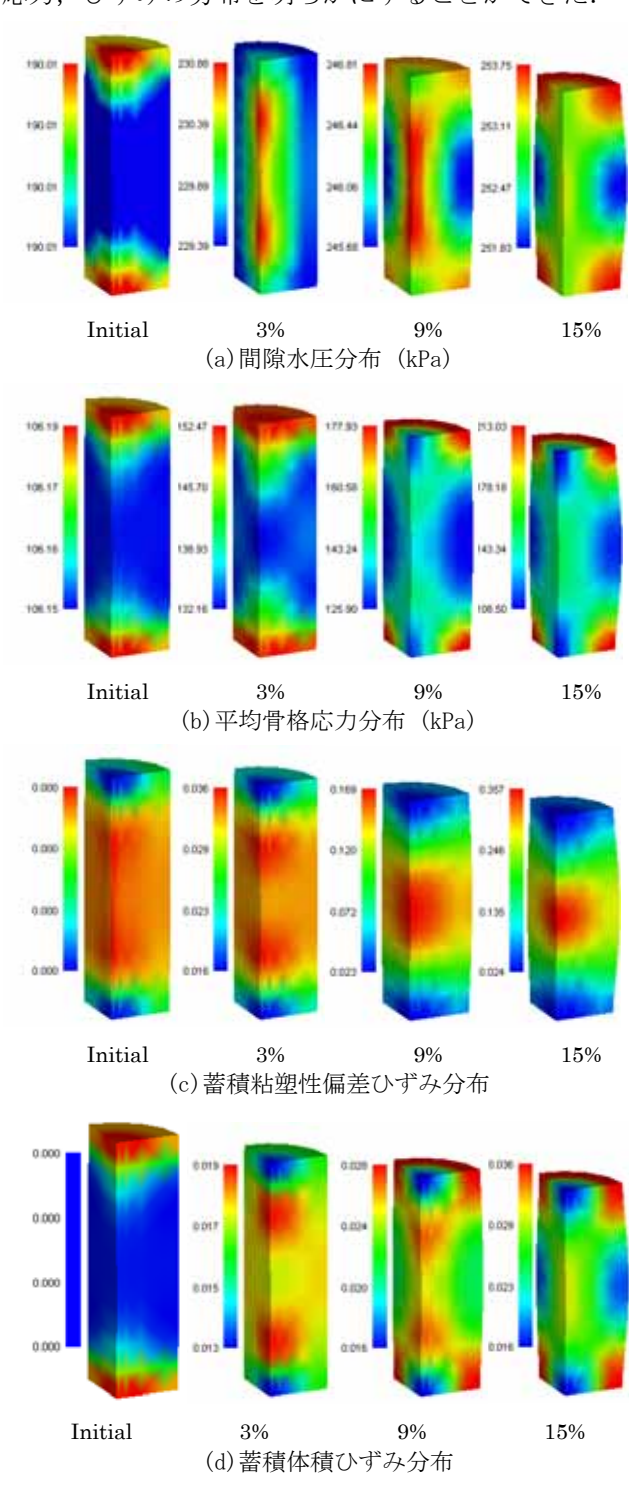
図1 解析結果(全要素平均)と実験結果の比較

図 1 にひずみ速度 0.1%/min, 初期サクション 10 kPa のケースの実験結果と有限要素解析結果の比較を示す. (a) の応力-ひずみ関係では、初期に偏差応力が大きく 発生し、載荷とともに偏差応力の増加が緩やかになっ て、序々に増加していく様子が再現できた. (b) の軸 ひずみ-体積ひずみ関係では、体積ひずみが 2%を超え たあたりで体積ひずみの発生量が小さくなっているが, 試験結果では大きく増加している. また, 図 2 に解析 より得られた 3 次元コンタ一図を示す. すべて軸ひず み 0, 3, 9, 15%時における分布を示す. (a)の間隙 水圧分布より、 載荷初期では供試体中央部での間隙水 圧が高く供試体表面は低くなっている. その後, 供試 体上部と下部に広がり、上下部での間隙水圧が高くな っている. (b) の平均骨格応力分布図より,供試体中 心部での値が低いことが分かる. (c) の蓄積粘塑性ひ ずみ分布図より, 供試体中心部においてひずみが大き くなっている. (d) の体積ひずみ分布図より、供試体 上下部において体積圧縮ひずみが大きくなっている.

5. まとめ

応力 - ひずみ関係と間隙空気圧 - 軸ひずみ関係の再

現はできたが、間隙水圧 - 軸ひずみ関係では間隙水圧が試験結果よりもシミュレーション結果の方が大きく上昇している. これは、試験結果では間隙水圧は供試体下部中央で計測しているが、供試体内で分布していることが考えられる. また、3次元解析を行うことで、応力、ひずみの分布を明らかにすることができた.



参考文献

 Feng, H: Multiphase Deformation Analysis of Elastoviscoplastic Unsaturated Soil and Modeling of Bentonite, Doctoral Thesis, Graduate School of Engineering, Kyoto University, 2007.

図2 解析結果 (コンター図)

2) 福谷準也:不飽和砂質土の排気・非排気条件下における 強度・変形特性,京都大学大学院修士論文,工学研究科, 2008.